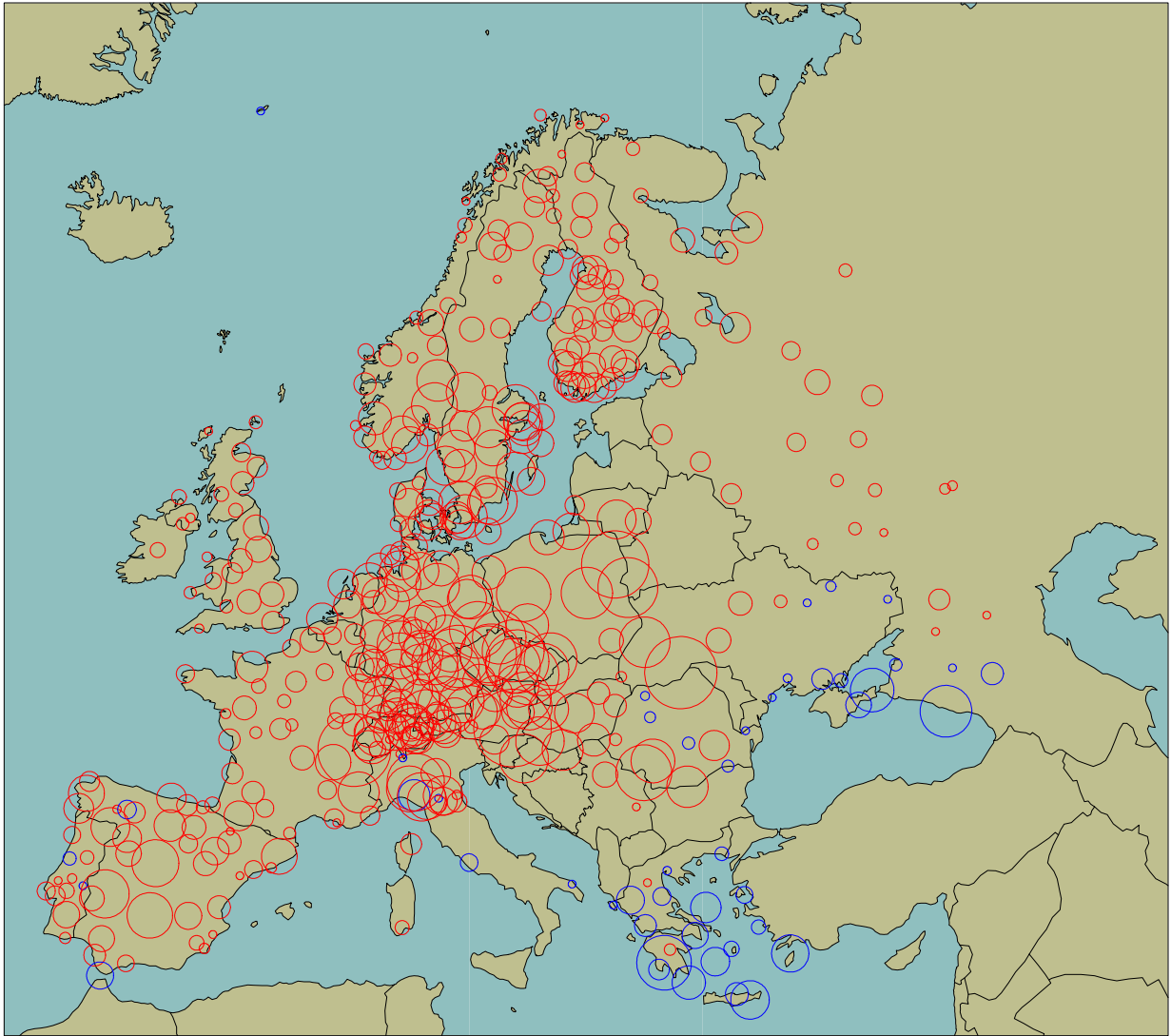
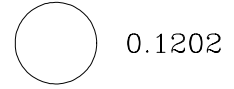
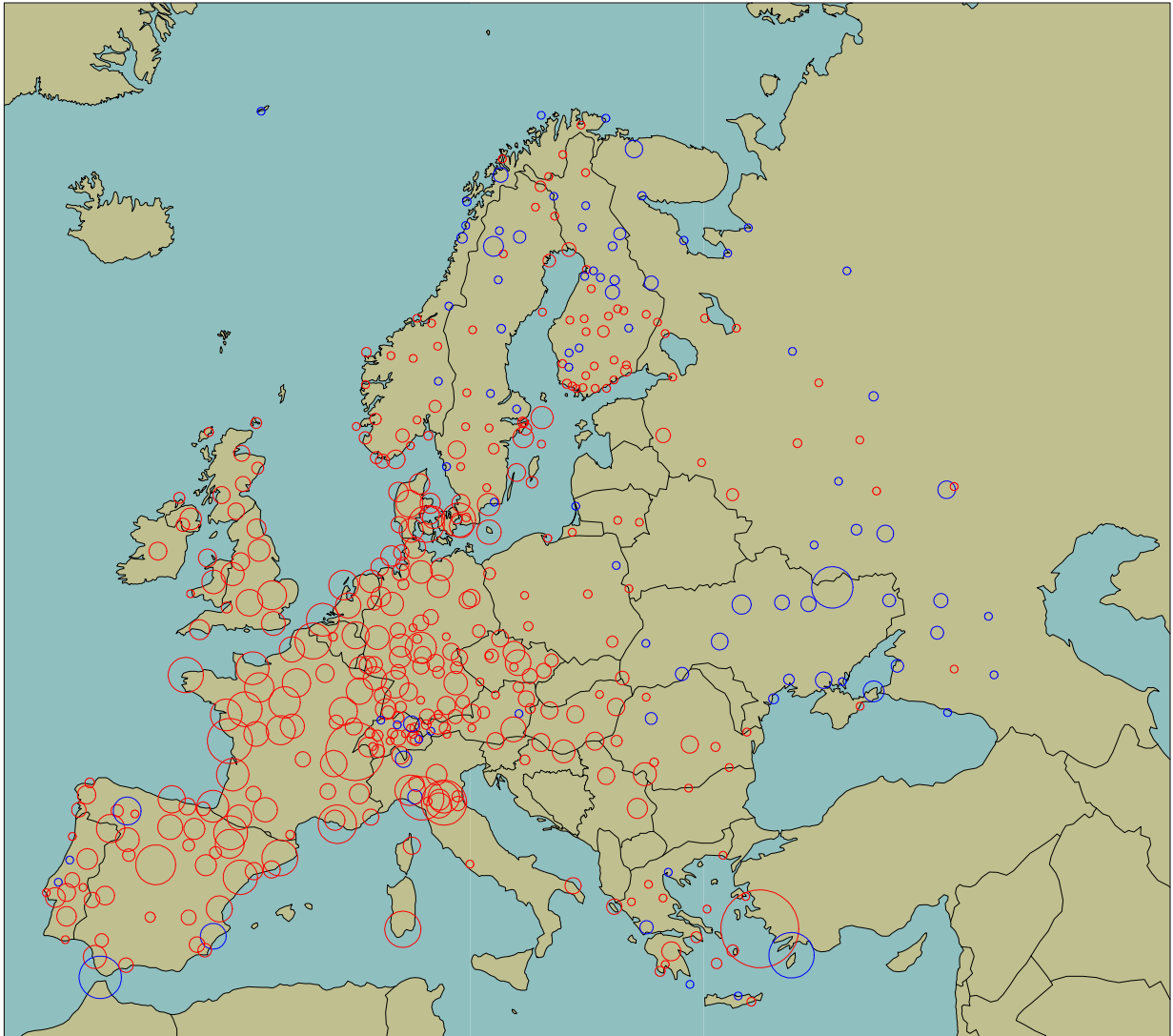
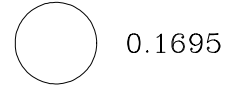


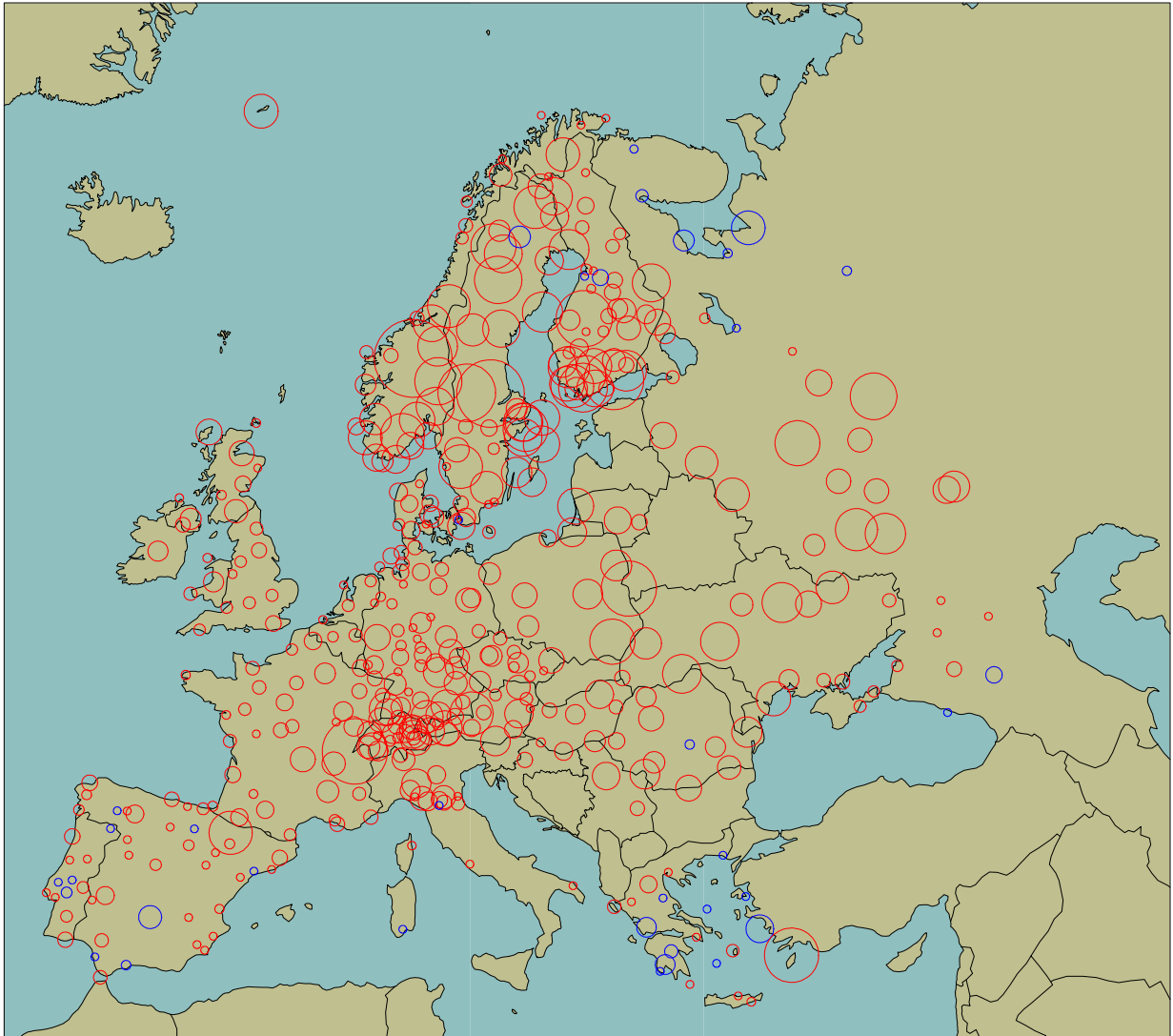
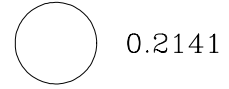
tmax90p DJF Av. 0.0324



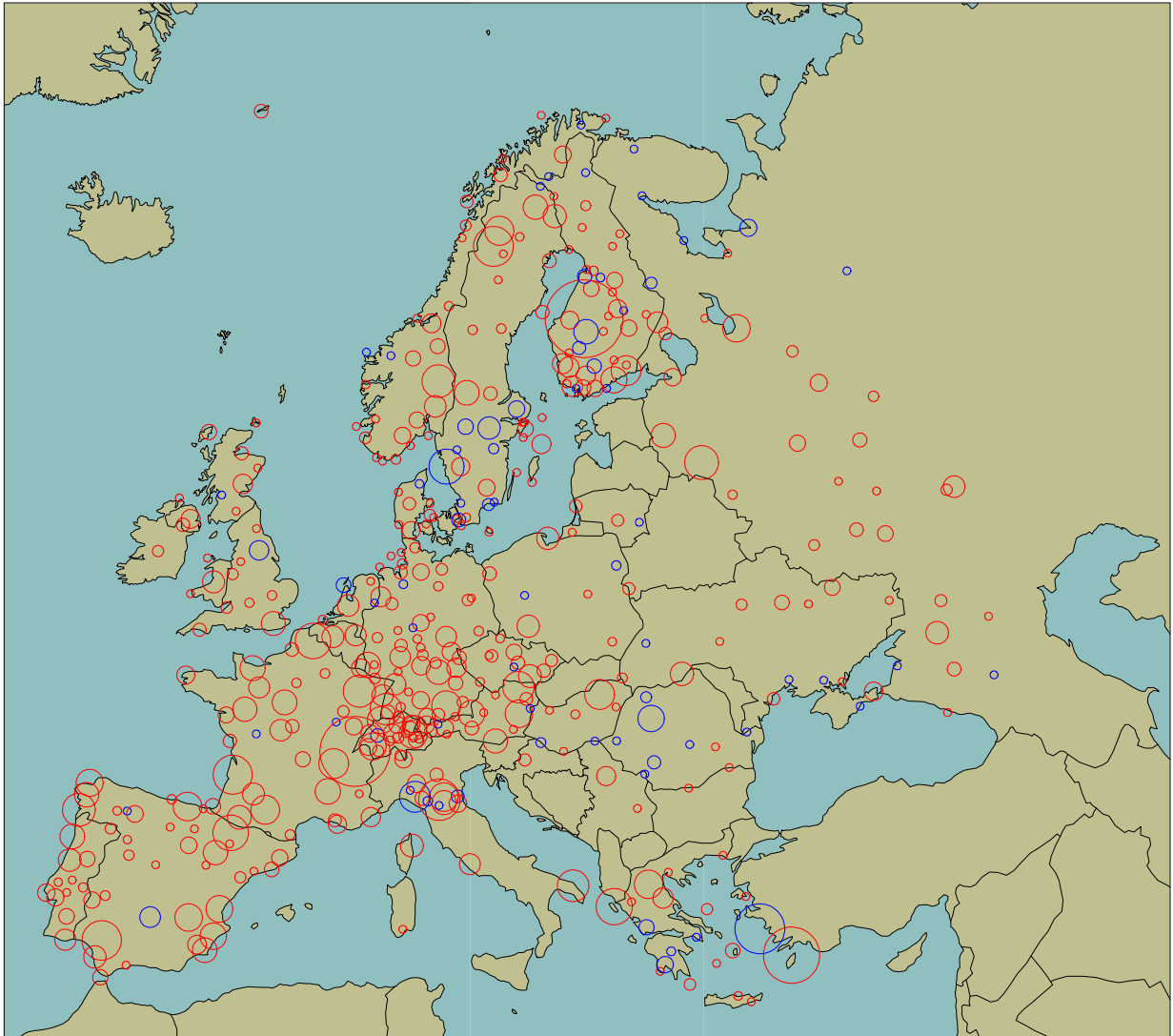
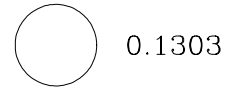
tmax90p JJA Av. 0.0203



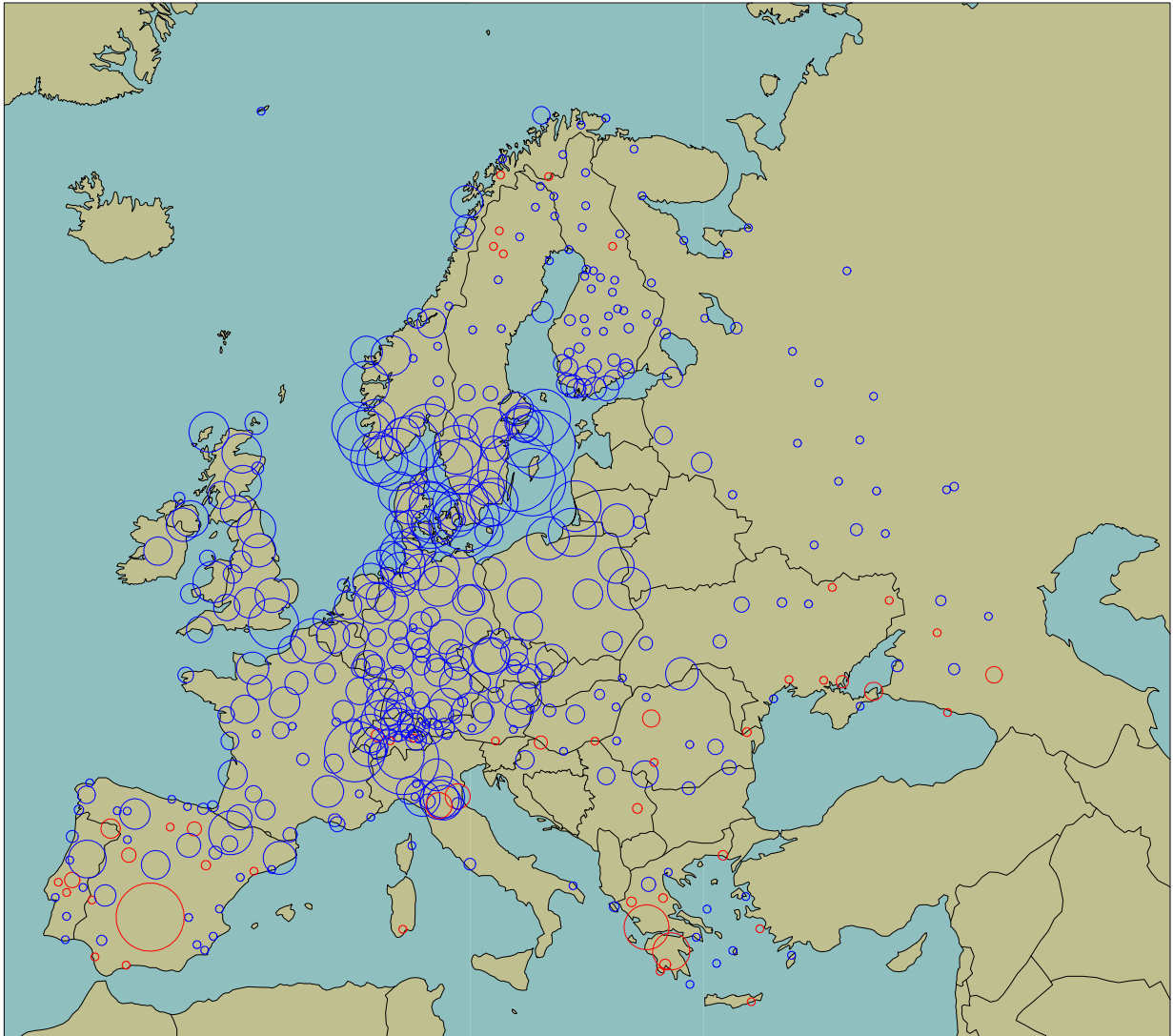
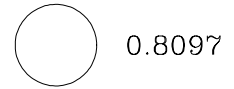
tmin10p DJF Av. 0.0469



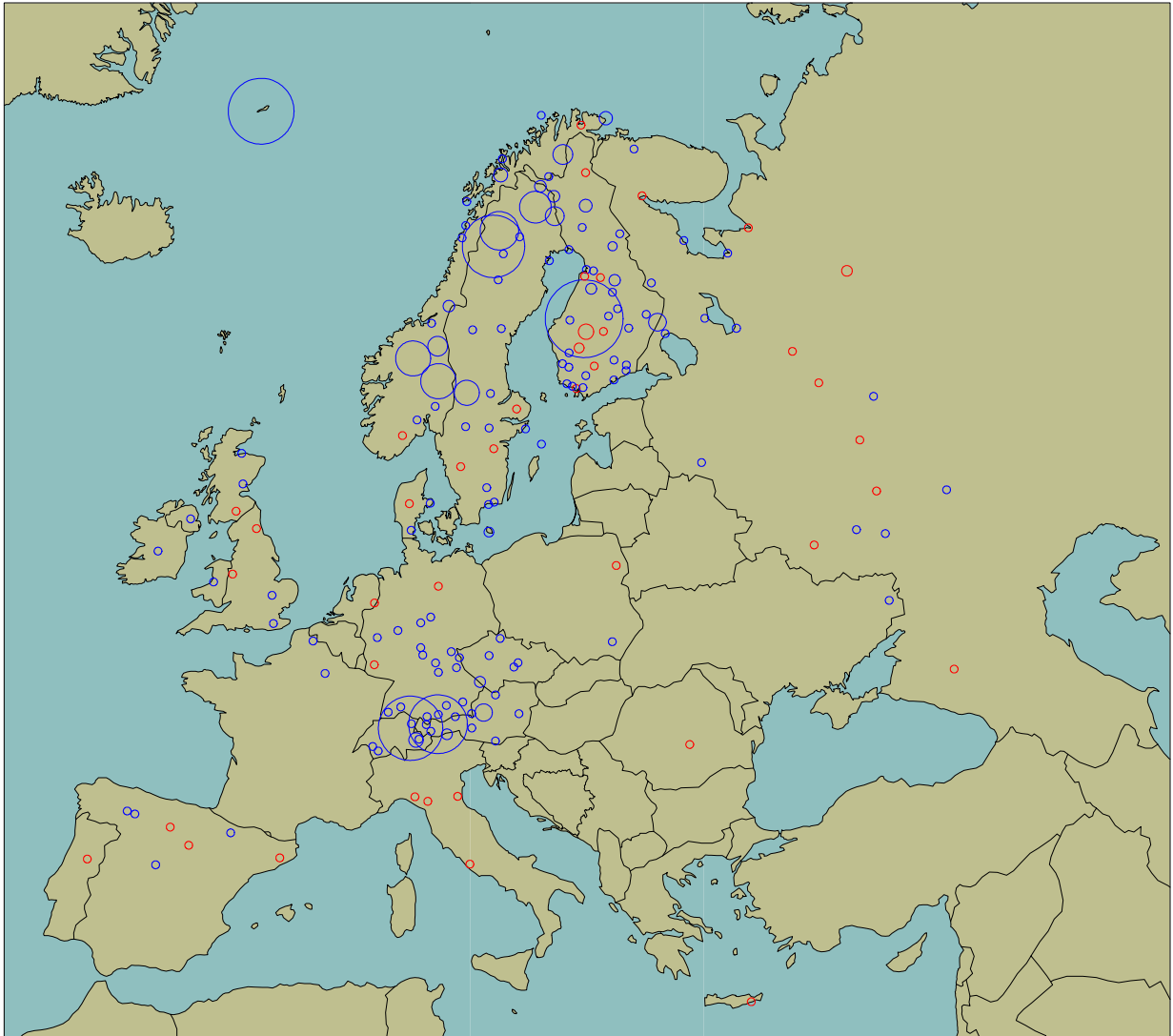
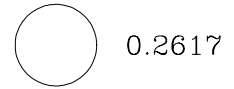
tmin10p JJA Av. 0.0182



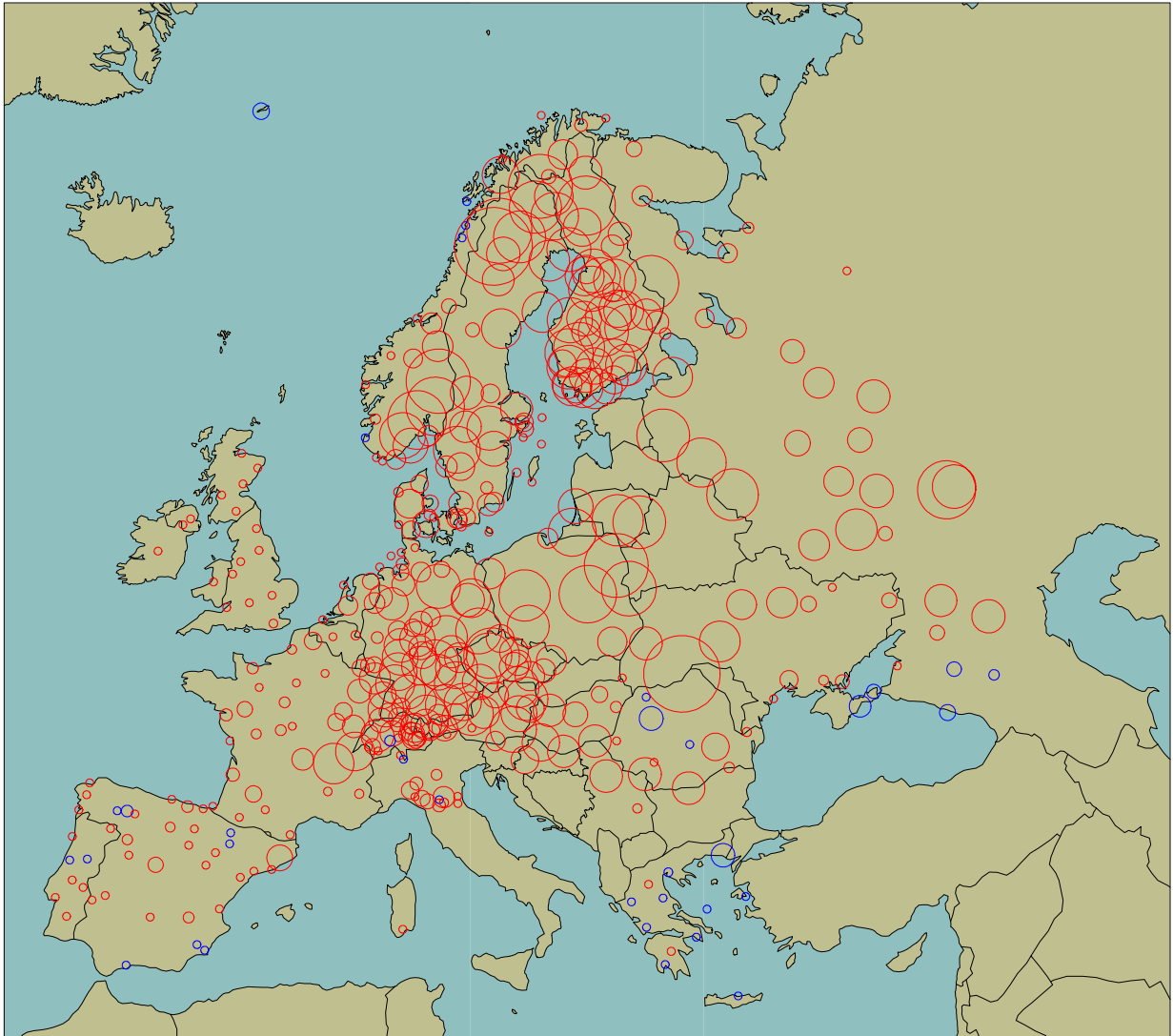
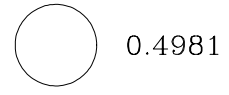
125Fd DJF Av. -0.1661



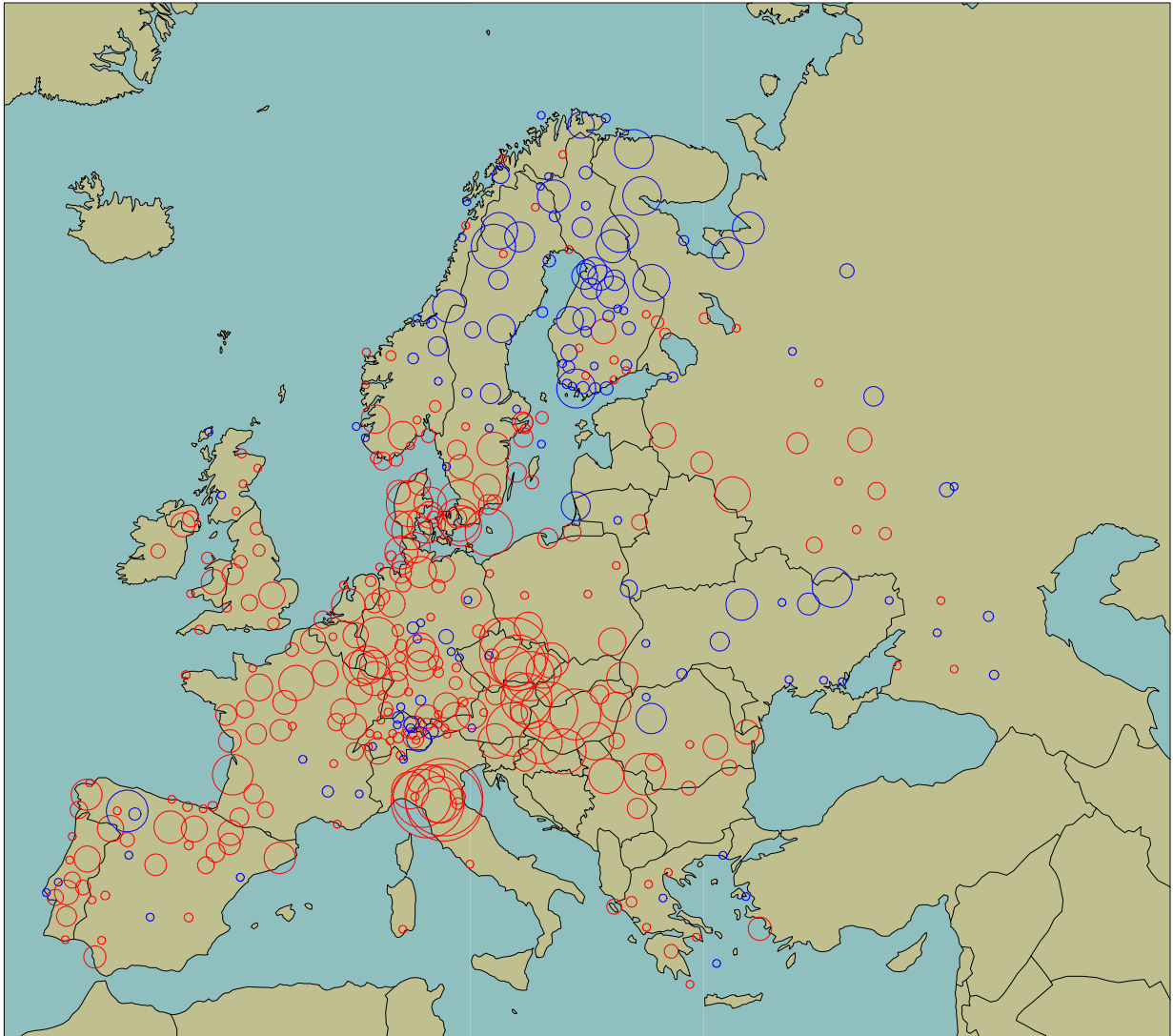
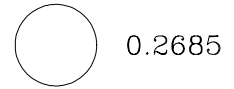
125Fd JJA Av. -0.0209



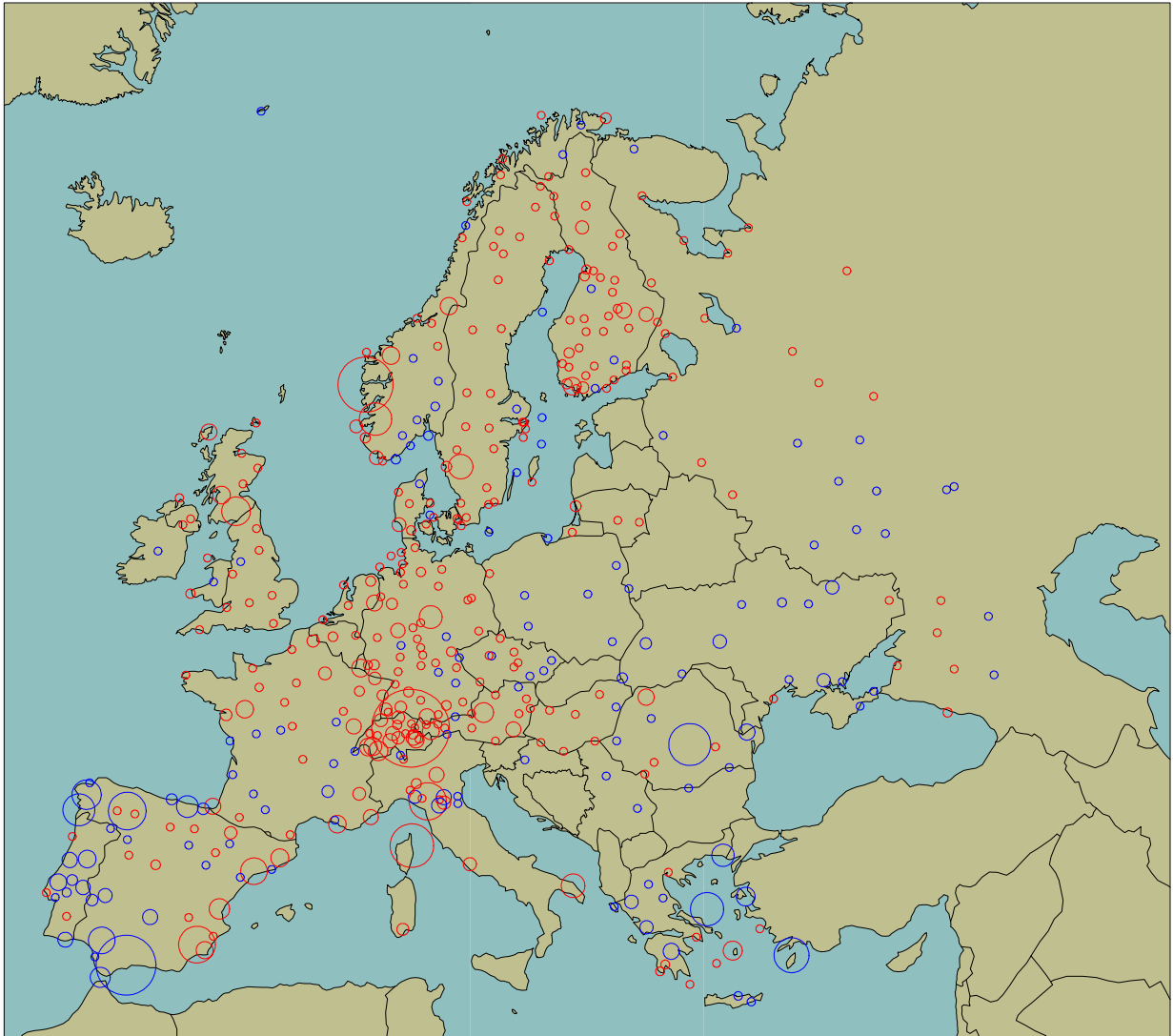
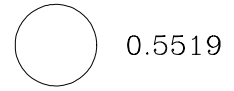
144HWDI DJF Av. 0.1240



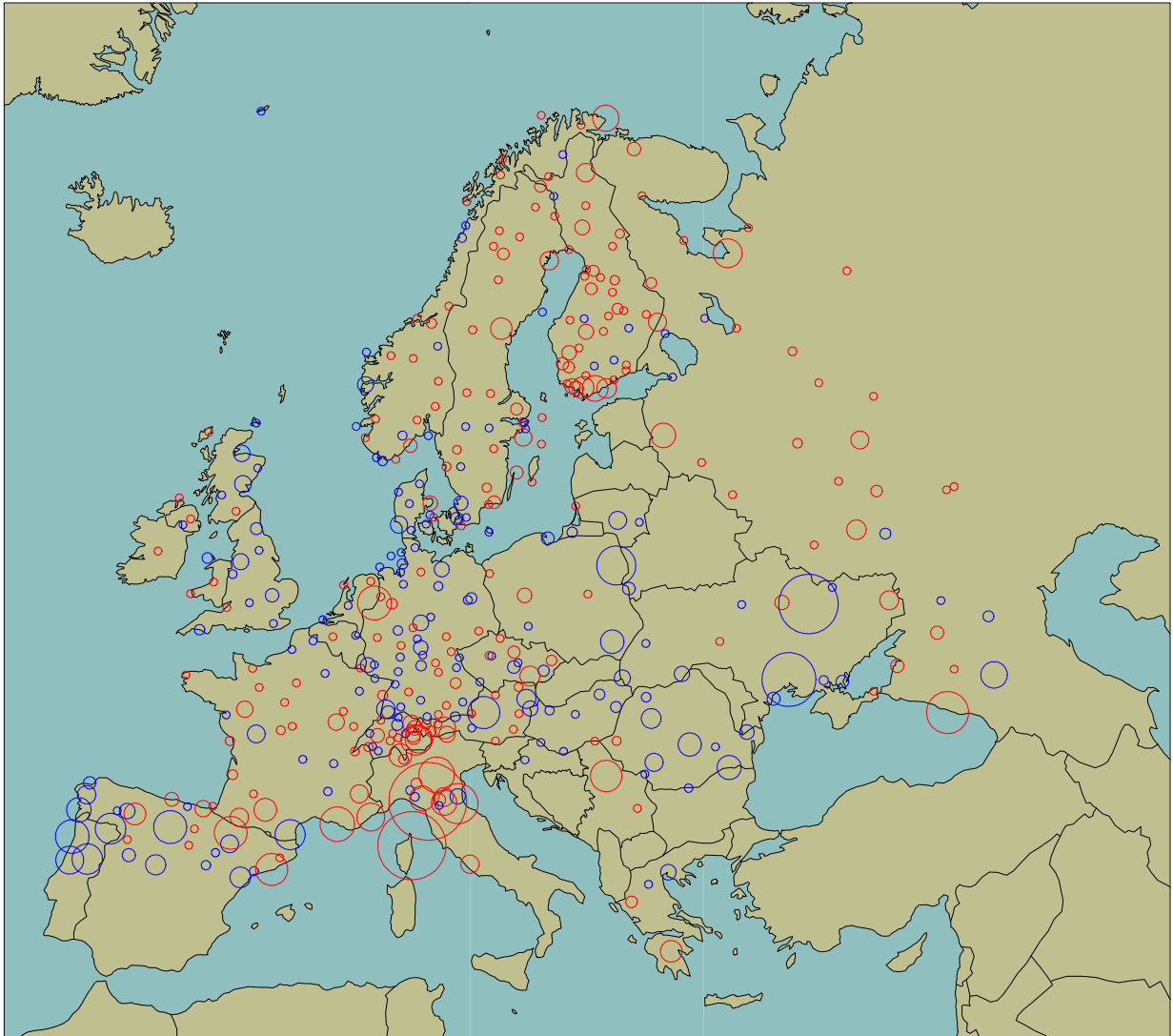
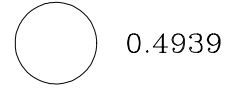
144HWDI JJA Av. 0.0336



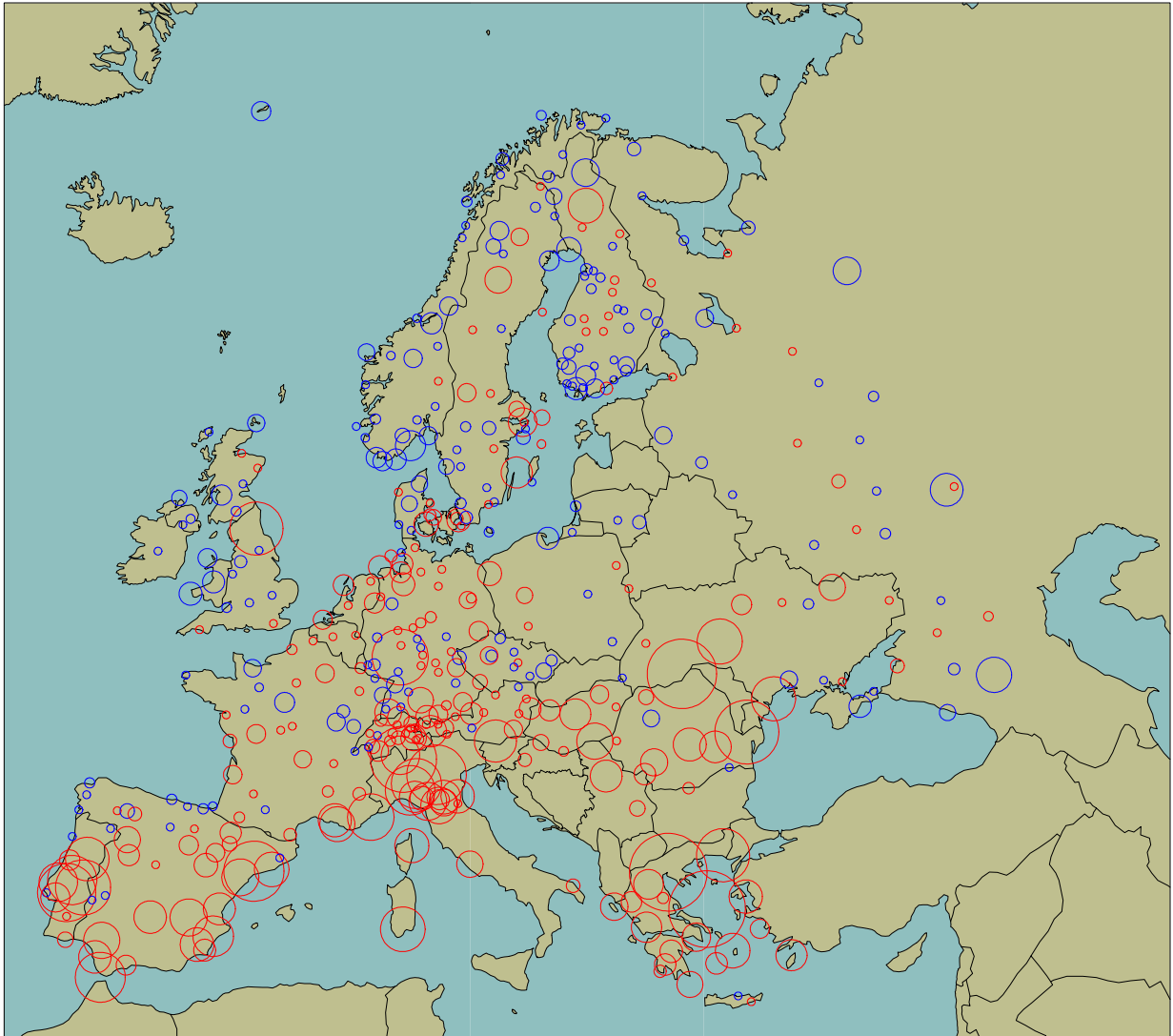
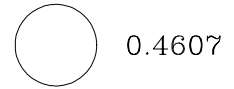
prec90p DJF Av. 0.0188



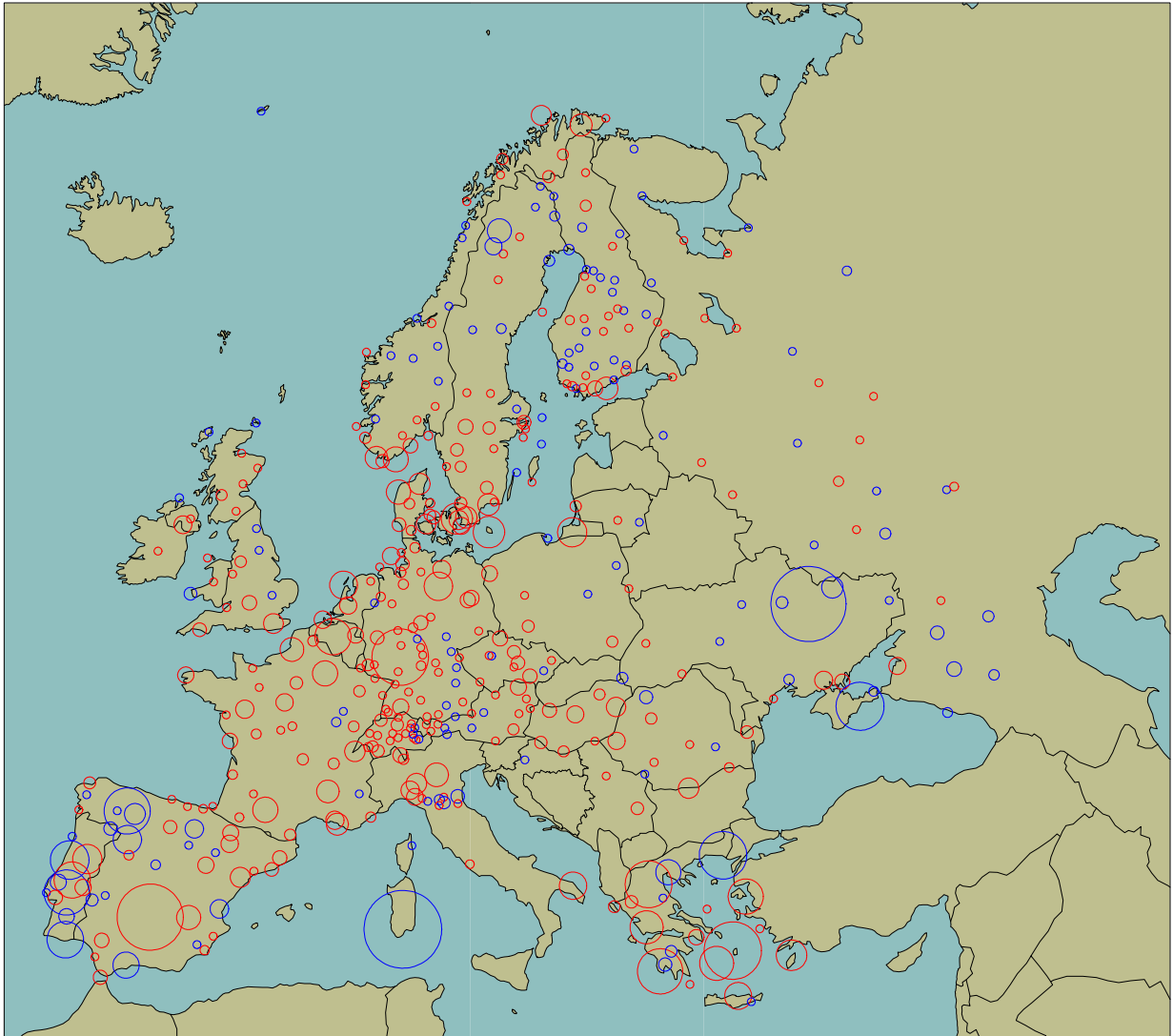
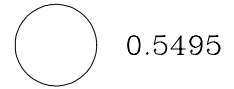
prec90p JJA Av. 0.0099



641CDD DJF Av. 0.0234



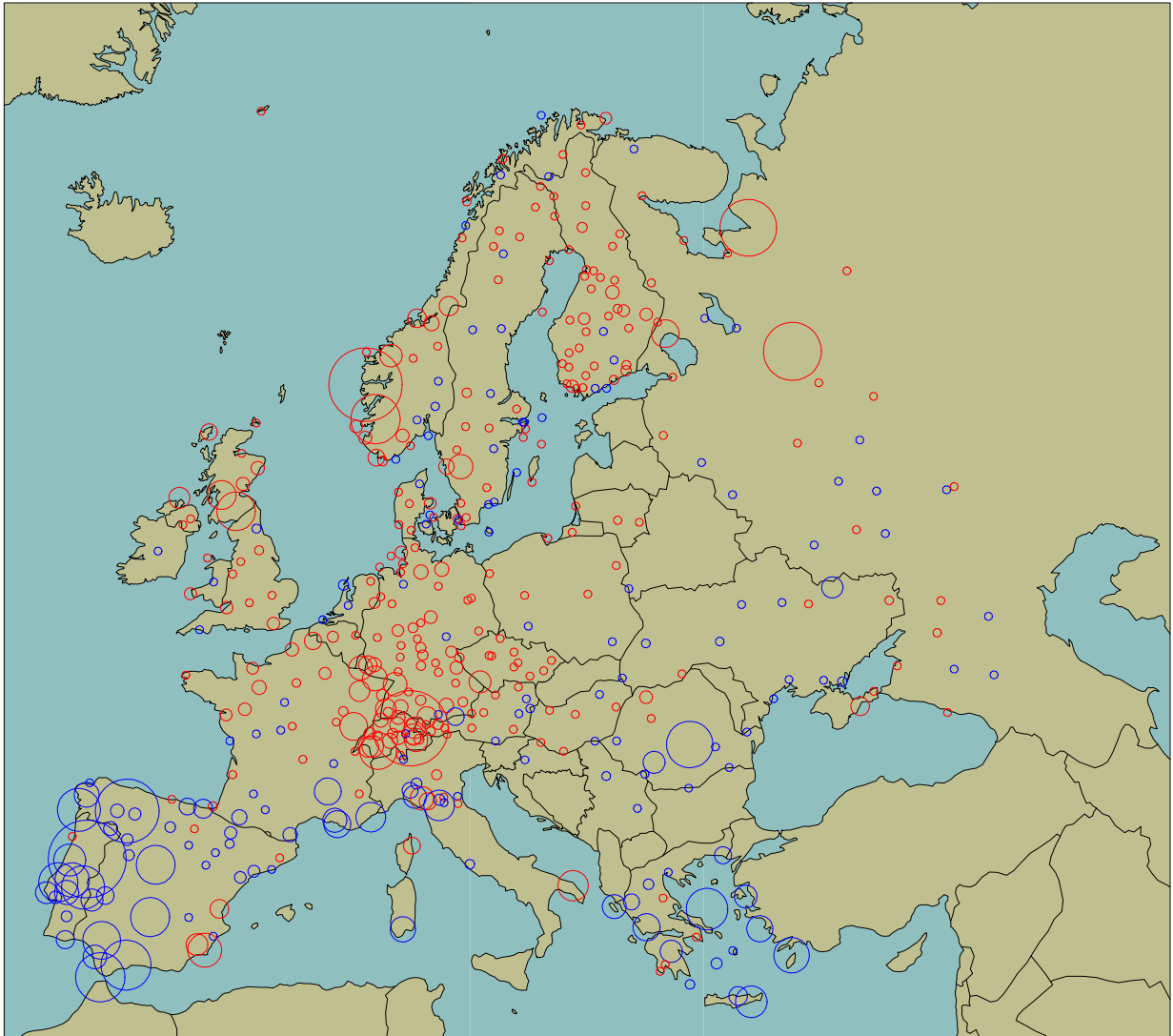
641CDD JJA Av. 0.0284



644R5d DJF Av. 0.0461



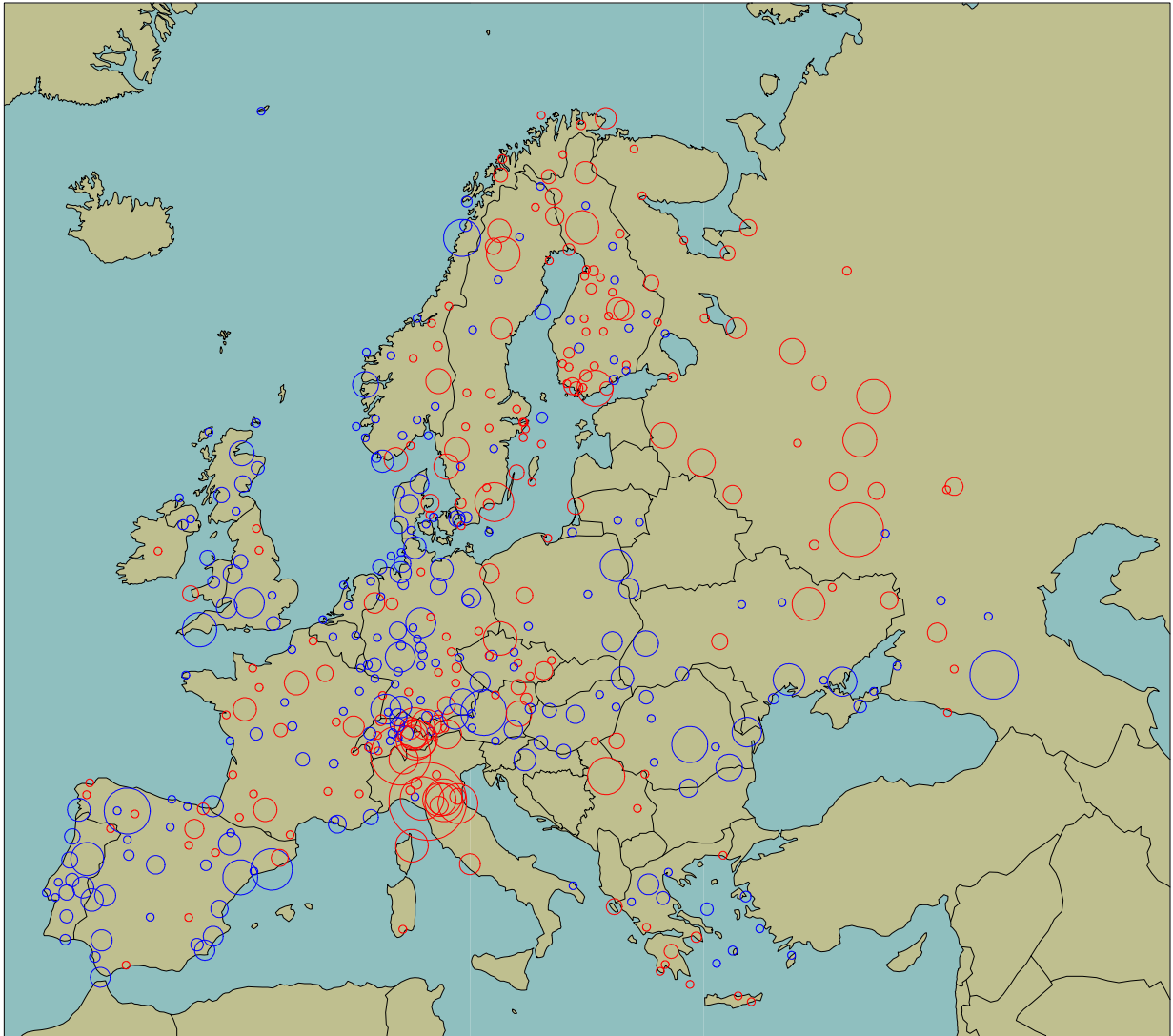
2.109



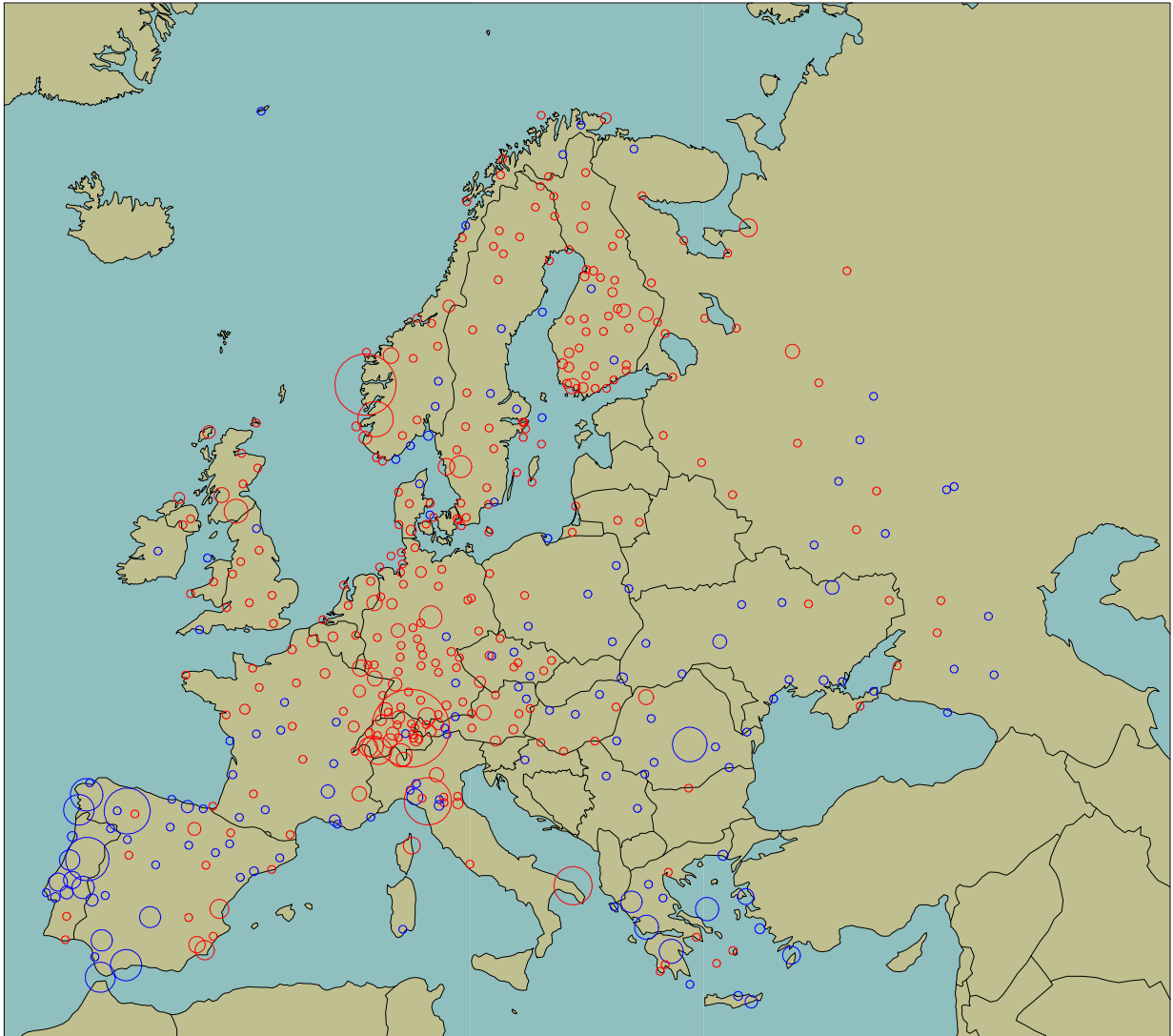
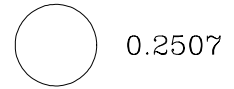
644R5d JJA Av. 0.0116



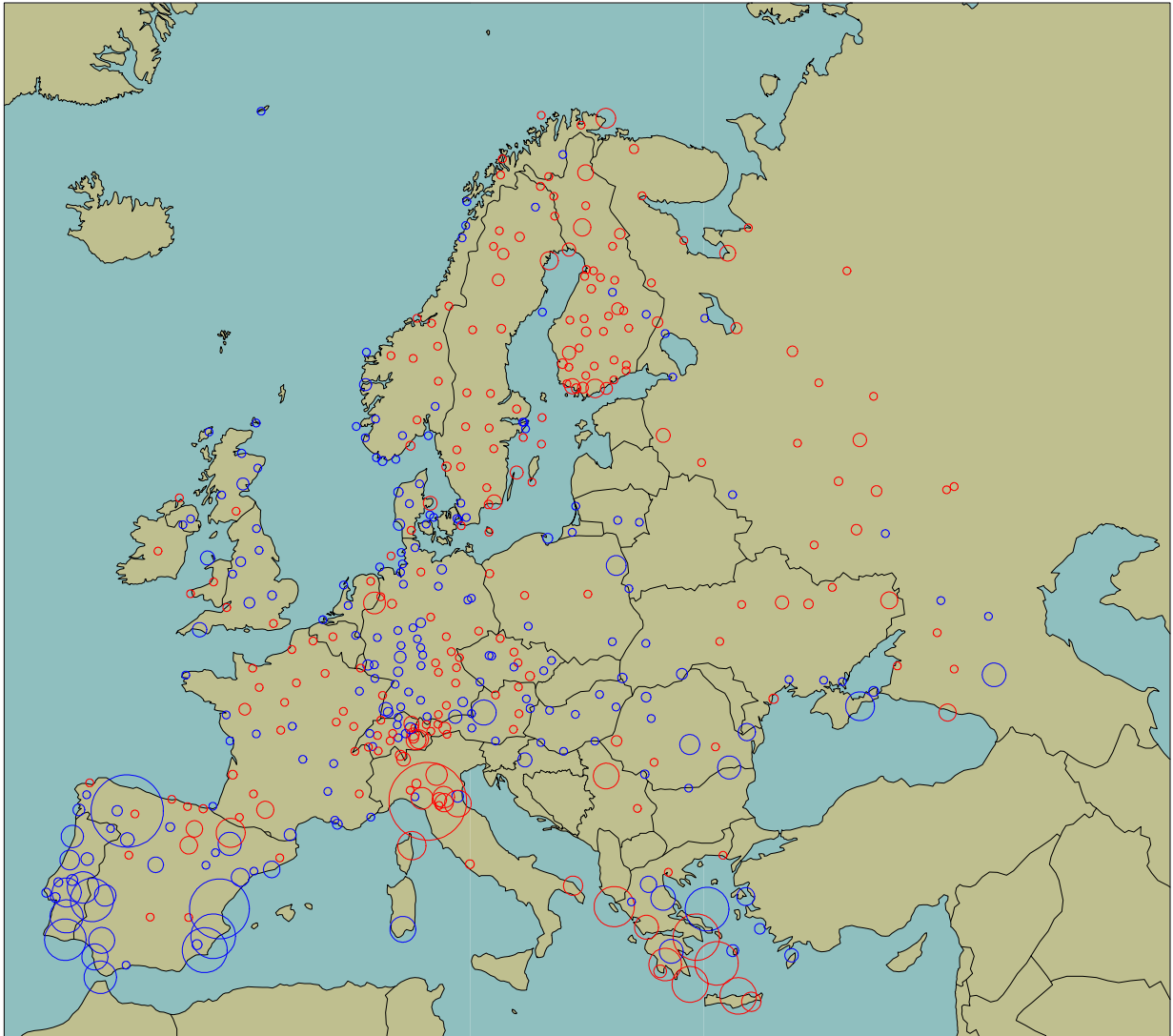
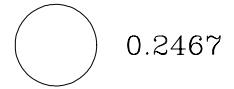
1.454



646SDII DJF Av. 0.0075



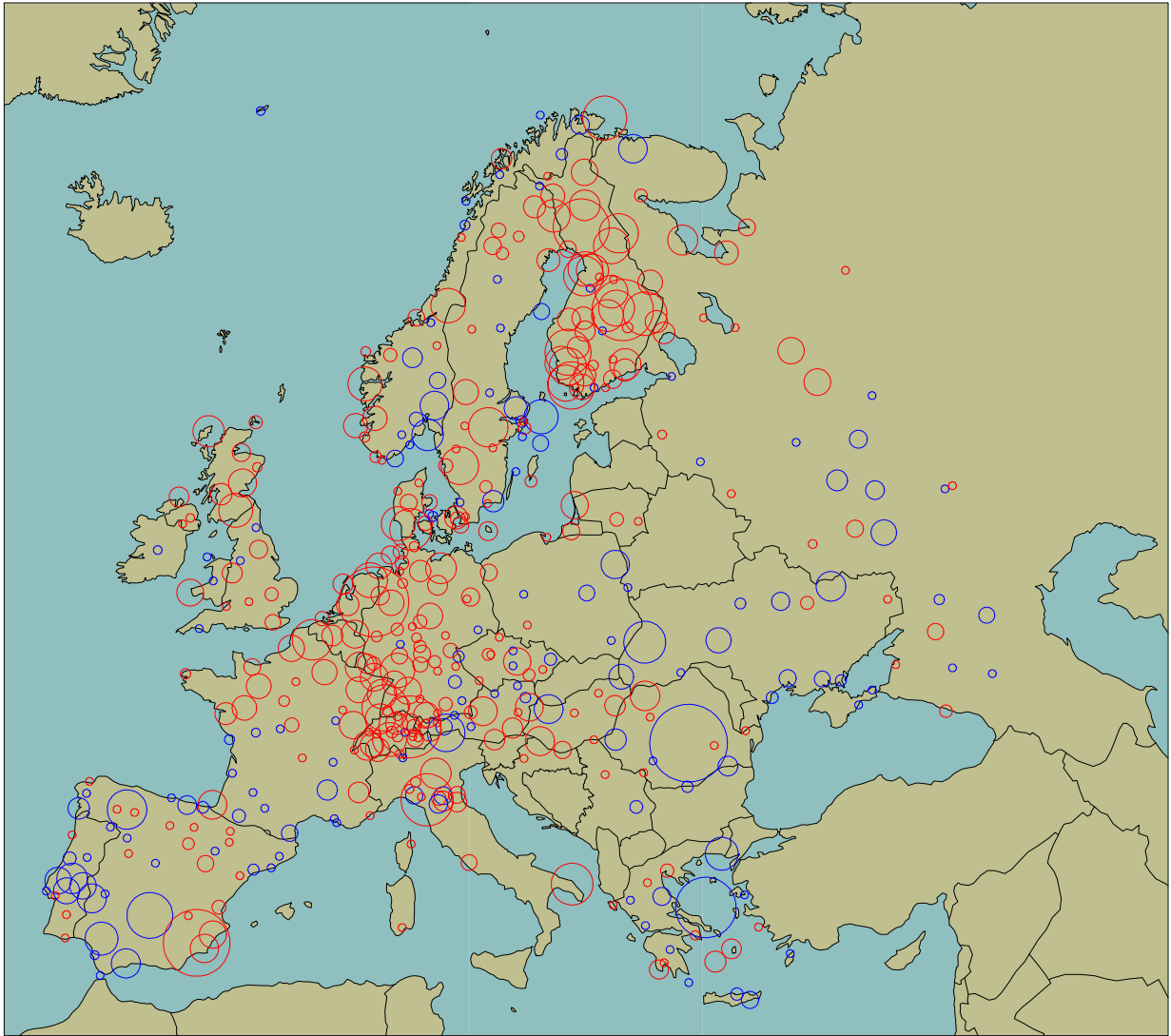
646SDII JJA Av. 0.0011



691R90T DJF Av. 0.0009



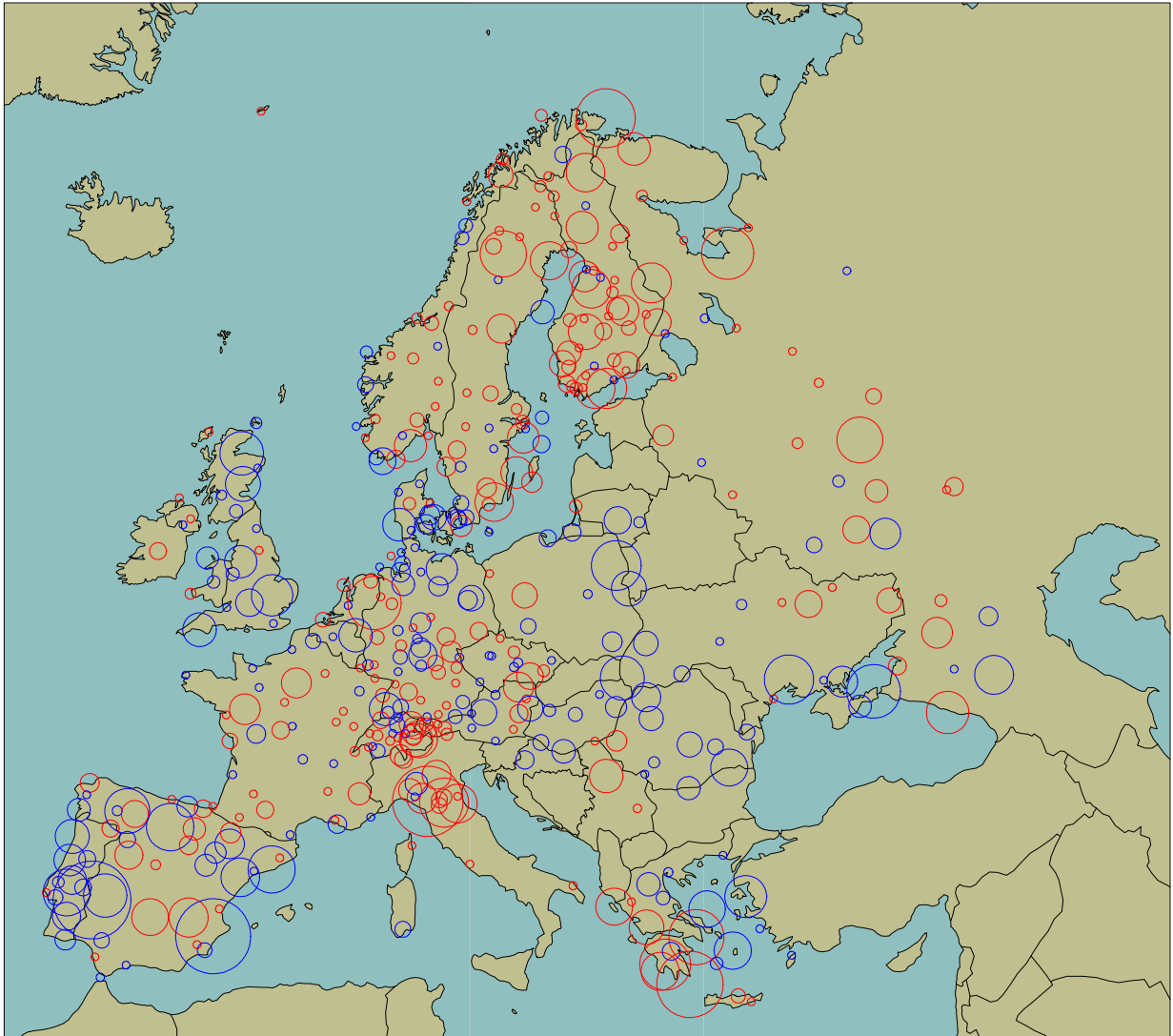
0.1109E-01



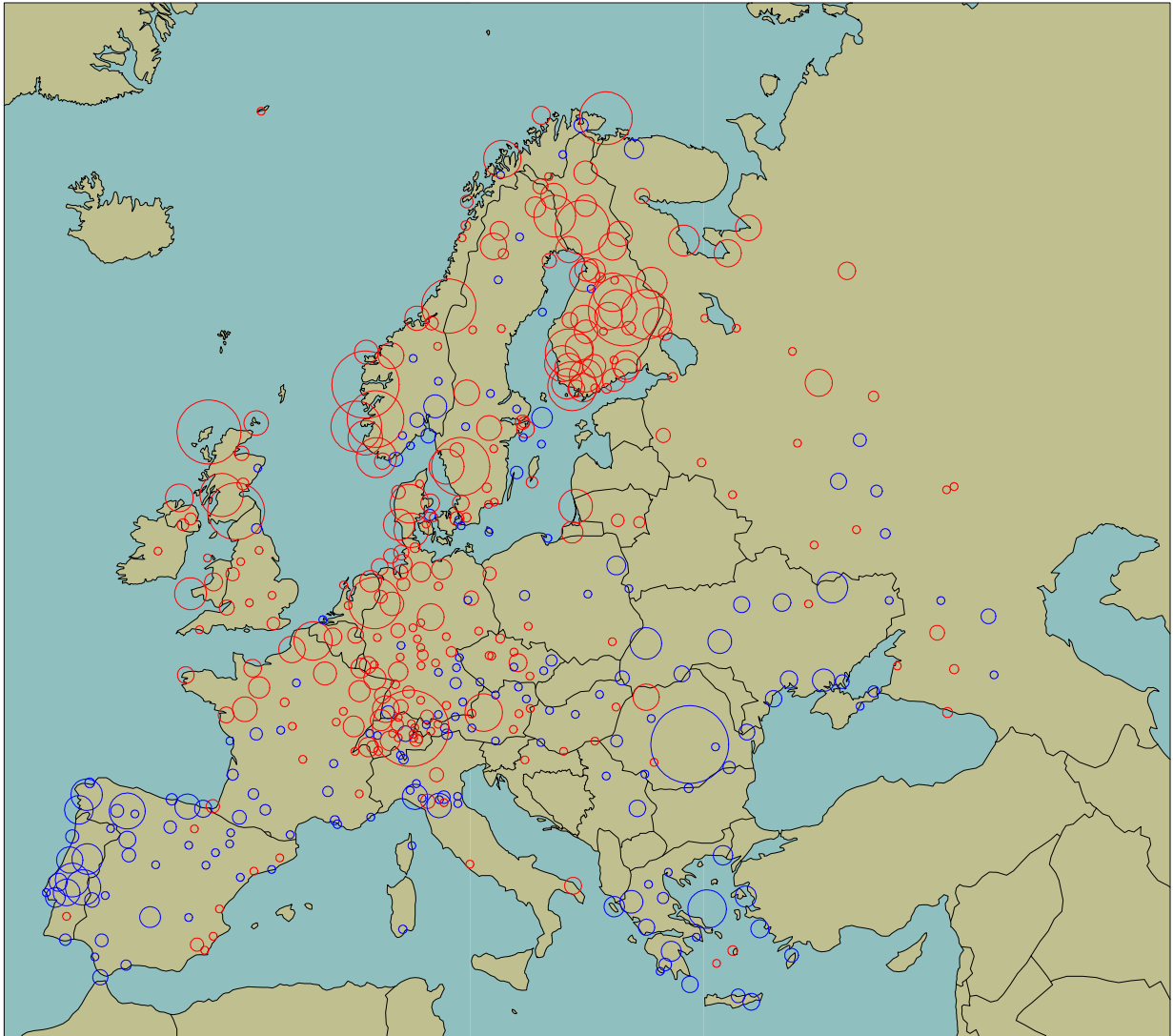
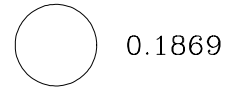
691R90T JJA Av. 0.0002



0.9898E-02



692R90N DJF Av. 0.0129



692R90N JJA Av. 0.0025

